

Blade R downlight

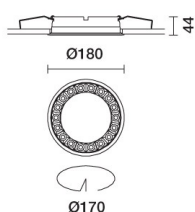
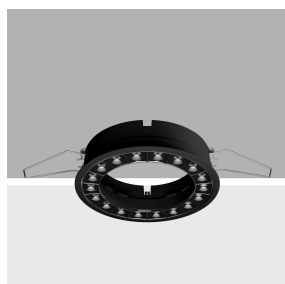
Design iGuzzini

iGuzzini

Dernière mise à jour des informations: Octobre 2024

Configuration du produit: QS49

QS49: Frame Ø 170 - Wide Flood beam - LED



Référence produit

QS49: Frame Ø 170 - Wide Flood beam - LED

Description technique

Appareil annulaire formé de 18 éléments optiques pour sources LED - optiques fixes. Le système optique garantit un très haut confort visuel sans éblouissement. Le corps comprend la surface radiante, en aluminium moulé sous pression. Version avec collerette périphérique de butée comprise. Réflecteurs à haute définition en matière thermoplastique métallisée aux vapeurs d'aluminium sous vide, intégrés et positionnés en retrait par rapport à l'écran filtrant. Équipé d'une unité d'alimentation raccordée à l'appareil.

Installation

À encastrer avec ressorts en fil d'acier pour faux-plafonds de 1 à 25 mm - ouverture pour installation Ø 170.

Coloris

Blanc (01) | Noir/Noir (43) | Blanc/Noir (47) | Blanc/Or (41)* | Blanc / chrome bruni (E7)*

Poids (Kg)

0.68

* Couleurs sur demande

Montage

encastré au plafond

Câblage

Sur l'unité d'alimentation avec bornier compris. Disponible en versions DALI.

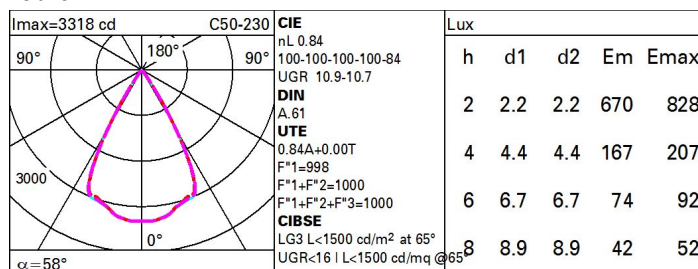
Conforme à la norme EN60598-1 et à la réglementation en vigueur (ou à la réglementation relative)



Données techniques

| | | | |
|--|------|---|--|
| Im du système: | 2646 | Durée de vie LED 1: | 50,000h - L90 - B10 (Ta 25°C) |
| W du système: | 39.1 | Voltage [V]: | 230 |
| Im source: | 3150 | Code Lampe: | LED |
| W source: | 36 | Nombre de lampes par groupe optique: | 1 |
| Efficacité lumineuse (Im/W, valeurs du système): | 67.7 | Code ZVEI: | LED |
| Im en mode secours: | - | Nombre de groupes optiques: | 1 |
| Flux total émis à un angle de 90° ou plus [Lm]: | 0 | Facteur de puissance: | Voir Notice de montage |
| Light Output Ratio (L.O.R.) [%]: | 84 | Courant d'appel: | 30 A / 200 µs |
| Angle d'ouverture [°]: | 58° | Nombre maximal d'appareils par disjoncteur: | B10A: 12 appareils B16A: 20 appareils C10A: 20 appareils C16A: 34 appareils |
| IRC (minimum): | 90 | % minimum de gradation: | 1 |
| Température de couleur [K]: | 2700 | Protection de surtension: | 2kV Mode commun e 2kV Mode différentiel |
| MacAdam Step: | 2 | Control: | DALI-2 |

Polaire



Coefficients d'utilisation

| R | 77 | 75 | 73 | 71 | 55 | 53 | 33 | 00 | DRR |
|------|----|----|----|----|----|----|----|----|-----|
| K0.8 | 76 | 72 | 69 | 67 | 71 | 69 | 68 | 66 | 78 |
| 1.0 | 79 | 76 | 73 | 71 | 75 | 73 | 72 | 70 | 83 |
| 1.5 | 83 | 80 | 78 | 77 | 79 | 78 | 77 | 74 | 89 |
| 2.0 | 86 | 84 | 82 | 81 | 83 | 81 | 80 | 78 | 93 |
| 2.5 | 87 | 86 | 85 | 84 | 85 | 84 | 83 | 80 | 96 |
| 3.0 | 88 | 87 | 86 | 86 | 86 | 85 | 84 | 82 | 98 |
| 4.0 | 89 | 88 | 88 | 87 | 87 | 87 | 85 | 83 | 99 |
| 5.0 | 90 | 89 | 89 | 89 | 88 | 88 | 86 | 84 | 100 |

Courbe limite de luminance

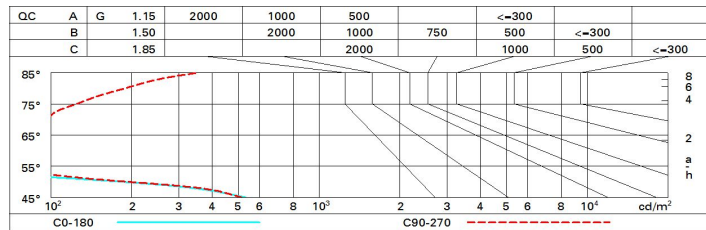


Diagramme UGR

| Corrected UGR values (at 3150 lm bare lamp luminous flux) | | | | | | | | | | | |
|---|------|------------------|------|------|------|------|----------------|------|------|------|------|
| Reflect.: | | viewed crosswise | | | | | viewed endwise | | | | |
| ceiling/cav | | 0.70 | 0.70 | 0.50 | 0.50 | 0.30 | 0.70 | 0.70 | 0.50 | 0.50 | 0.30 |
| walls | | 0.50 | 0.30 | 0.50 | 0.30 | 0.30 | 0.50 | 0.30 | 0.50 | 0.30 | 0.30 |
| work pl. | | 0.20 | 0.20 | 0.20 | 0.20 | 0.20 | 0.20 | 0.20 | 0.20 | 0.20 | 0.20 |
| Room dim | | viewed crosswise | | | | | viewed endwise | | | | |
| x | y | | | | | | | | | | |
| 2H | 2H | 11.5 | 12.1 | 11.7 | 12.3 | 12.5 | 11.3 | 11.9 | 11.6 | 12.1 | 12.3 |
| | 3H | 11.3 | 11.9 | 11.6 | 12.1 | 12.4 | 11.2 | 11.7 | 11.5 | 12.0 | 12.2 |
| | 4H | 11.3 | 11.8 | 11.6 | 12.0 | 12.3 | 11.1 | 11.6 | 11.4 | 11.9 | 12.2 |
| | 6H | 11.2 | 11.6 | 11.5 | 11.9 | 12.3 | 11.0 | 11.5 | 11.4 | 11.8 | 12.1 |
| | 8H | 11.1 | 11.6 | 11.5 | 11.9 | 12.2 | 11.0 | 11.4 | 11.3 | 11.7 | 12.1 |
| | 12H | 11.1 | 11.5 | 11.5 | 11.9 | 12.2 | 10.9 | 11.3 | 11.3 | 11.7 | 12.0 |
| 4H | 2H | 11.3 | 11.8 | 11.6 | 12.0 | 12.3 | 11.1 | 11.6 | 11.4 | 11.9 | 12.2 |
| | 3H | 11.1 | 11.5 | 11.5 | 11.9 | 12.2 | 10.9 | 11.3 | 11.3 | 11.7 | 12.0 |
| | 4H | 11.0 | 11.4 | 11.4 | 11.8 | 12.1 | 10.8 | 11.2 | 11.2 | 11.6 | 12.0 |
| | 6H | 10.9 | 11.3 | 11.4 | 11.6 | 12.1 | 10.7 | 11.1 | 11.2 | 11.5 | 11.9 |
| | 8H | 10.9 | 11.2 | 11.3 | 11.6 | 12.0 | 10.7 | 11.0 | 11.1 | 11.4 | 11.8 |
| | 12H | 10.8 | 11.1 | 11.3 | 11.5 | 12.0 | 10.7 | 10.9 | 11.1 | 11.4 | 11.8 |
| 8H | 4H | 10.9 | 11.2 | 11.3 | 11.6 | 12.0 | 10.7 | 11.0 | 11.1 | 11.4 | 11.9 |
| | 6H | 10.8 | 11.0 | 11.3 | 11.5 | 12.0 | 10.6 | 10.9 | 11.1 | 11.3 | 11.8 |
| | 8H | 10.7 | 10.9 | 11.2 | 11.4 | 11.9 | 10.6 | 10.8 | 11.0 | 11.2 | 11.7 |
| | 12H | 10.7 | 10.9 | 11.2 | 11.3 | 11.9 | 10.5 | 10.7 | 11.0 | 11.2 | 11.7 |
| 12H | 4H | 10.8 | 11.1 | 11.3 | 11.5 | 12.0 | 10.7 | 10.9 | 11.1 | 11.4 | 11.8 |
| | 6H | 10.7 | 10.9 | 11.2 | 11.4 | 11.9 | 10.6 | 10.8 | 11.1 | 11.2 | 11.7 |
| | 8H | 10.7 | 10.9 | 11.2 | 11.3 | 11.9 | 10.5 | 10.7 | 11.0 | 11.2 | 11.7 |
| Variations with the observer position at spacing: | | | | | | | | | | | |
| S = | 1.0H | 6.9 / -27.9 | | | | | 6.8 / -18.2 | | | | |
| | 1.5H | 9.7 / -28.2 | | | | | 9.6 / -18.4 | | | | |
| | 2.0H | 11.7 / -28.5 | | | | | 11.6 / -18.6 | | | | |